論文 インパクトエコー法によるコンクリート内部空隙の評価に与える弾性波の入力周波数の影響

中根 基之*1·鎌田 敏郎*2·内田 慎哉*3·古本 吉倫*4

要旨: インパクトエコー法では、コンクリート内部空隙を評価する際、深さに応じて異なる 鋼球直径を適切に選定する必要があると言われている。しかしながら、鋼球直径、すなわち 弾性波の入力周波数の違いが空隙検出性能に与える影響についての詳細な検討は行われて いない。そこで本研究では、複素応答法による FEM 解析と供試体での計測において、入力 周波数をいくつか変化させ、空隙の評価に与える影響をパターン認識を用いて検討した。そ の結果、ユークリッド距離を用いることにより、空隙深さの異なるケースについて、入力周 波数が空隙評価に与える影響を定量的に把握することができた。

キーワード:インパクトエコー法,空隙,入力周波数,複素応答法,周波数スペクトル

1. はじめに

コンクリート内部空隙を評価する手法の一つ として,インパクトエコー法 ¹⁾ がある。この手 法は、コンクリート表面から打撃により弾性波 を入力し,空隙表面で反射される波の成分をコ ンクリート表面で計測するものである。評価に あたっては、コンクリートと内部空隙との間で 励起される縦波共振現象によるピーク周波数の 有無と周波数の値を活用する。そのため,如何 にして空隙に起因するピーク周波数を抽出する かが問題となる。この問題に対して, Sansalone ら 1) は、鋼球直径が大きくなるにしたがって、 入力される弾性波の上限周波数が小さくなるこ とから, 縦波共振周波数を抽出する際は, 空隙 までの深さに応じた鋼球直径を選定する必要が あると述べている。しかしながら、ここでいう 上限周波数とは, Sansalone ら 1) が周波数応答の 低下する領域を便宜上定義しているに過ぎない。 このような背景から,入力する弾性波の上限周 波数を考慮した評価手法に関する研究が行われ ており、そのひとつに $SIBIE^{2}$ がある。

これを受けて、本研究では、複素応答法による FEM 解析および供試体計測において、入力する弾性波をいくつか変化させ、これが内部空隙評価に与える影響についての検討を行った。また、パターン認識を活用して、コンクリート内部空隙の評価における弾性波の入力周波数の影響について、解析および計測結果でのそれぞれの周波数スペクトルにより、定量的に把握した。

2. インパクトエコー法による空隙の評価原理

インパクトエコー法によるコンクリート内部空隙の評価原理を図-1に示す。この手法は、コンクリート内部空隙を、打撃により得られた受信波の周波数スペクトルから評価するものである。その評価にあたっては、周波数スペクトルにおける縦波共振によるピークを活用する。なお、図中における内部空隙によるピーク周波数は、以下の式により算出される。

$$f_{v} = C_{p}/2d$$
 (1)
ここで、 f_{v} : 空隙によるピーク周波数、 C_{p} : 縦波の伝播速度、 d : 空隙までの深さである。

^{*1} 岐阜大学 工学部社会基盤工学科 (正会員)

^{*2} 大阪大学大学院 工学研究科地球総合工学専攻教授 工博 (正会員)

^{*3} 大阪大学大学院 工学研究科地球総合工学専攻 (正会員)

^{*4} 岐阜大学 工学部社会基盤工学科助手 工博

一方、打撃によって生じる弾性波の周波数は、使用する鋼球の直径に影響を受けることが知られている。Sansalone らが定義した関係式¹⁾を以下に示す。

$$f_{\text{max}} = 291/D \tag{2}$$

ここで、 f_{max} :入力される弾性波の上限周波数、D:鋼球直径である。

さらに、式(1)および式(2)の関係より、内部空隙の最小検知深さ(d_{min})を算出することができるとも報告されている。これは、空隙に起因するピーク周波数に対して、入力される弾性波の上限周波数が同じ値かそれ以上でなければならないことを意味している。以下に Sansalone らによって提案されている関係式 $^{1)}$ を示す。

$$d_{\min} = 7D \tag{3}$$

なお、上記式(2)¹⁾ および式(3)¹⁾ を用いて、代表的な鋼球直径に対する上限周波数および最小深さの計算結果を、表-1にまとめて示す。表より、鋼球直径が大きくなるに従って、最小深さは大きくなるのに対して、上限周波数は小さくなることが確認できる。

3. 解析概要

3.1 複素応答法による FEM 解析

グラウト充填評価における既往の研究成果を参照に、複素応答法による FEM 解析を用いることとした 3)。この解析手法では、フーリエ変換を前提として、解析モデルにおける伝達関数を周波数ごとに独立して求める。この伝達関数に弾性波の入力のフーリエ変換を掛け合わることにより、周波数スペクトルが算出される。

3.2 解析モデル

解析モデルは、断面方向のみの弾性波の伝播 挙動に着目するため、平面ひずみ要素による 2 次元モデルとした。モデルの断面寸法は、図-2 に示すように、500mm×2000mm とした。空隙の 大きさは 45mm に固定した上で、空隙までの深 さを 60 および 140mm と変化させた。また、モ デルパターンは、コンクリート内部に空隙が配 置されているもの(空隙モデル)と空隙が存在

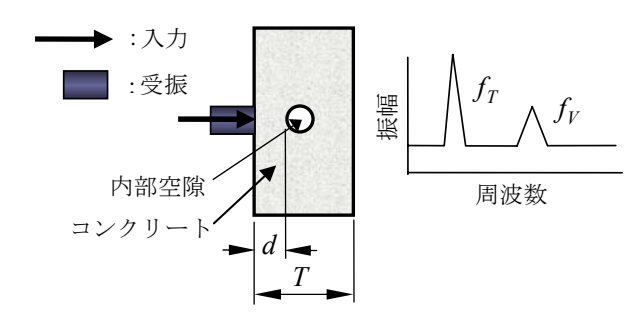


図-1 インパクトエコー法の概念

表-1 鋼球直径に対する計算結果

X · MAELENI / ON FINA						
鋼球直径	上限周波数	最小深さ				
D (mm)	f _{max} (kHz)	d _{min} (mm)				
3.2	90.8	21.5				
4.0	72.7	26.8				
6.4	45.4	42.9				
9.6	30.3	64.4				
11.0	26.4	73.8				
12.8	22.7	85.9				
15.7	18.5	105.3				
19.1	15.2	128.0				

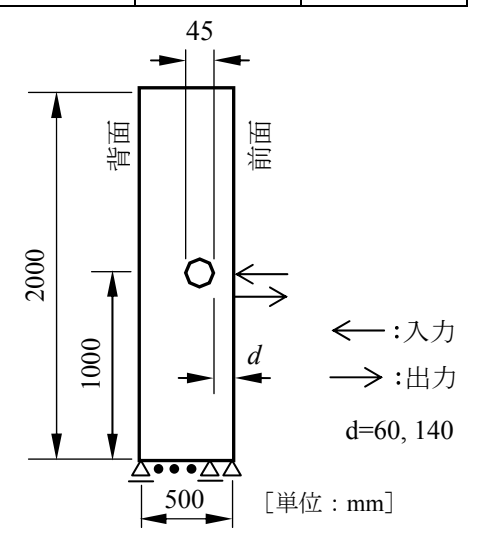


図-2 解析モデルの例 表-2 材料物性値

物性値	コンクリート	グラウト
密度(g/cm³)	2.3	1.9
ポアソン比	0.2	0.17
伝播速度(m/s)	3900	3000
減衰定数	0.02	0.02

しない健全なもの(健全モデル)とした。空隙 モデルでは、断面内に空隙に相当する 8 角形の 空間を設けた。健全モデルにおいては、この 8 角形を要素のひとつとみなし、ここにグラウト の物性値を設定したものをモデルに組み込んだ。 グラウトおよびコンクリートの物性値を表-2 に示す。モデルにおける境界面は、底面のみ高 さ方向の移動を拘束した(図-2 参照)。なお、要素の代表長さは 20mm である。

3.3 解析条件

入力位置は、図-2に示すとおり、底面から高さ 1000mm, 空隙右側の側面上の接点にて行った。出力位置は、入力位置より下側へ 50mm 移動した接点である。入力する弾性波の周波数帯域を変化させるため、既往の研究 1) を参考に、入力におけるフーリエスペクトルを算出した。その一例を図-3に示す。なお、出力時における基本周波数は 0.49kHz である。

4. 実験概要

4.1 供試体概要

側面からの反射波の影響を極力避けるため、 図-4に示すように、長さと幅を十分大きくし、 板厚を500mmとしたコンクリート供試体を作製 した。供試体内部には、空隙を模擬するために、 直径 45mm のスパイラルシースを埋設した。ま た、コンクリート表面から空隙までの深さを変 化させることを目的に、シースの埋設深さが60 ~250mm へとなるように、供試体長手方向にお ける中央部にて、5°の角度で斜めに曲げ上げた。 なお、供試体作製後、空隙までの深さを電磁波 レーダ法により確認した。

4.2 インパクトエコー法の計測

弾性波の入力および受信位置は**, 図−4** における◎の位置(空隙深さ:60 および140mm)であ

る。図に示す計測位置において、鋼球打撃によ る弾性波の入力と変位波形の受信を,シース中 央部の直上のコンクリート表面にて行った。弾 性波の入力には,入力する弾性波の上限周波数 を変化させることを目的に、写真-1に示す鋼球 の直径が異なるインパクタを用いた。一方, 弾 性波の受信には、0~1MHzの間でフラットな応 答感度を有するコニカル型高感度変位センサを 用いた。受信された変位波形に対して、高速フ ーリエ変換 (FFT) を施して周波数スペクトルを 算出した。基本周波数は、解析でのそれと同じ にするため, 0.49kHz である。波形収集時のサン プリング時間は 1μs, サンプリング数は 2048 個 である。なお、コンクリート部分の弾性波伝播 速度の計測は、シースおよび鉄筋の直上を避け、 図-4における×印で実施した。伝播速度は、縦 波共振周波数と供試体厚さ(500mm)から算出 した。複数箇所での算出を平均して、伝播速度 を 3900m/s とした。インパクトエコー法の計測 状況を写真-2に示す。

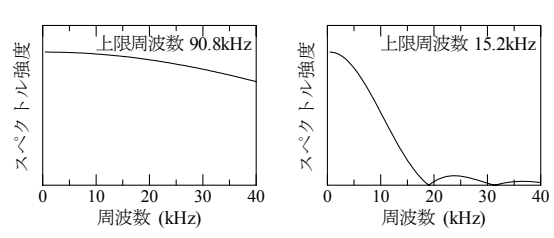


図-3 入力におけるフーリエスペクトル

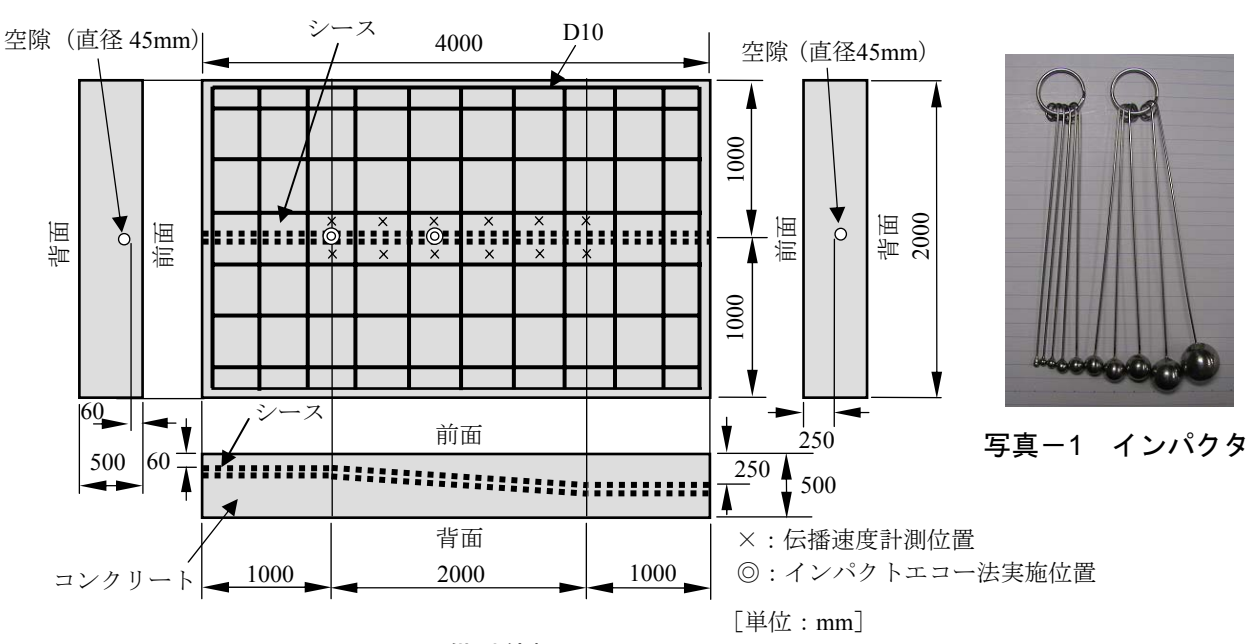


図-4 供試体概要

5. パターン認識

本研究では、コンクリート内部空隙の評価に与える弾性波の入力周波数の影響を把握するため、周波数スペクトルを用いたパターン認識 4) を利用した。まず、解析において、設定した入力時のフーリエスペクトルごとに、空隙モデルの周波数スペクトルの特徴と健全モデルの周波数スペクトルの特徴との比較を行った。

続いて、実験および解析での周波数スペクトルの比較を行い、実験で得られた周波数スペクトルが、空隙あるいは健全モデルのどちらの周波数スペクトルに最も近いかを判別した。なお、本研究におけるパターン認識では、ユークリッド距離を活用した。ユークリッド距離とは、2つの周波数スペクトルの類似性を数値として表現するための、2次元ユークリッド空間上での2点間距離である。その値が小さくなるに従い、周波数スペクトルどうしの類似性が高くなる。以下の式(4)により、ユークリッド距離を算出した。

$$D = \sqrt{\sum_{i=1}^{N} (a_i - b_i)^2}$$
 (4)

ここで、D: ユークリッド距離、 a_i および $b_i:i$ 番目の周波数におけるスペクトル強度 $(i=1,2,3\cdots N)$ である。

6. 結果と考察

6.1 解析におけるユークリッド距離

空隙モデルおよび健全モデルにおけるユークリッド距離比と上限周波数との関係を図-5に示す。この図に示すユークリッド距離比とは、上限周波数 90.8kHz における空隙と健全モデルでのユークリッド距離を 1 として、それに対する各上限周波数でのモデル間のユークリッド距離との比率として定義したものである。この図によれば、いずれの空隙深さにおいても、上限周波数が小さくなるに従って、ユークリッド距離比も小さくなる傾向を示している。距離が小さくなることは、空隙モデルと健全モデルとの類似性が高いことを意味している。これより、上限周波数が小さくなるに従って、空隙と健全



写真-2 実験供試体の計測状況

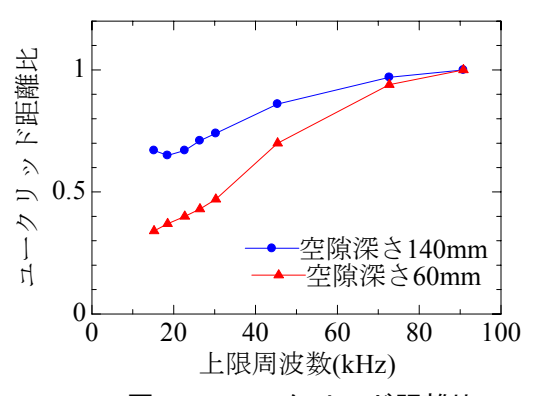


図-5 ユークリッド距離比

モデルとを判別しにくくなることがわかる。また、空隙深さ 60mm と 140mm とを比較すると、上限周波数の低下に対するユークリッド距離の低下率は、明らかに深さ 140mm の場合の方が小さい。これより、空隙までの深さが大きい場合は、上限周波数の違いがモデル間の識別に与える影響は小さいものと考えられる。

以上のことから,空隙深さによって異なるものの,入力する弾性波の上限周波数は,空隙の検出性能に影響を与える因子であることがわかる。

6.2 解析で算出された周波数スペクトルの特徴

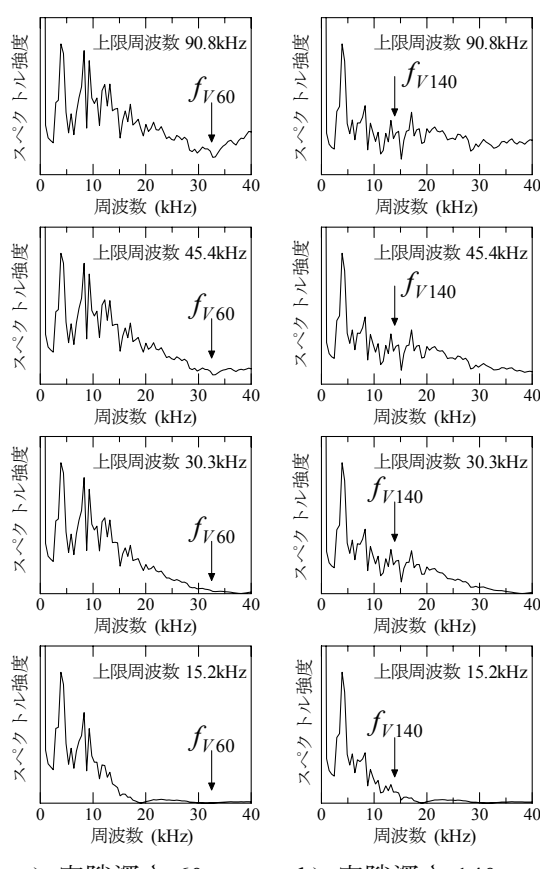
図-6 に空隙の深さ 60mm および 140mm における空隙モデルの解析結果の一例を,上限周波数と併せて示す。図中の矢印は,コンクリート空隙深さに相当する縦波共振周波数 (f_{v60}, f_{v140}) を示している。伝播速度を 3900m/s とすると,深さ 60mm と 140mm の縦波共振周波数の理論値は,式(2)よりそれぞれ 32.5kHz および 13.9kHz となる。この図によれば,いずれの埋設深さにおいても,4kHz 付近にモデル厚さ 500mm に応じたピーク周波数が確認できる。空隙深さ 60mm

(図-6a)) に着目すると, 上限周波数が 15.2kHz および 30.3kHz の場合, 空隙からのピーク周波 数である 32.5kHz を満足するに至っていない。 これによって図では、縦波共振現象を捉えるこ とができなかったものと考察できる。これは Sansalone らの研究成果 1) と一致する。しかしな がら, 上限周波数が 45.4kHz および 90.8kHz にお いては,空隙によるピーク周波数近傍のスペク トル強度が大きくなる傾向を示した。これは、 空隙による縦波共振のピーク周波数が、入力さ れた弾性波の上限周波数を上回ったためであり, 式 $(3)^{1)}$ からも明らかである。一方、図-6 b) で は、いずれの上限周波数においても、空隙深さ 140mm に起因する縦波共振周波数 13.9kHz を満 たしているため、ピーク周波数の生成を確認で きる。しかしながら、上限周波数の増加に伴っ て, 縦波共振によるピーク周波数に加えて, そ の他の周波数成分における振幅も大きくなり, ピーク周波数の判別が難しくなることがわかる。

以上の解析結果より, コンクリート内部空隙を評価するにあたり, 入力される弾性波の上限周波数は空隙に起因するピーク周波数を最低限満足する必要があることを, 周波数スペクトルから確認した。ただし, 上限周波数が大きくなると, 縦波共振のピーク周波数とそれ以外の周波数成分の振幅とが同程度になり, 空隙評価を困難にする場合があることも同時に明らかとなった。

6.3 計測された周波数スペクトルの特徴

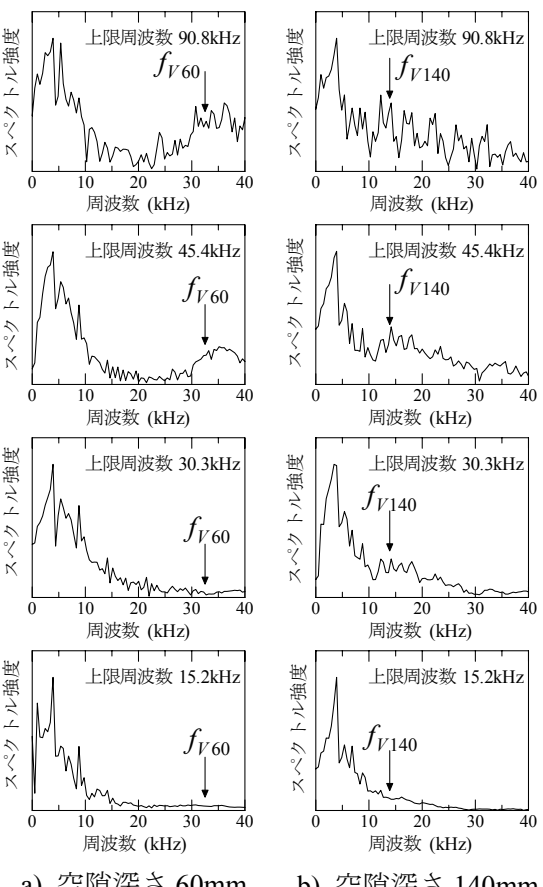
供試体で計測された空隙深さ 60mm および 140mm の場合における周波数スペクトルを図ー7に示す。ここでの周波数スペクトルは,著者らの研究成果 3) を踏まえて,表面波を除去した受信波形に対して FFT を実施したものである。また,本図では,解析結果との比較のため,図ー5に示す上限周波数から算出される鋼球直径を用いて計測した場合の結果のみを示している。いずれの場合も,供試体厚さに起因したピーク周波数が生成されている。また,空隙深さに関わらず,空隙による縦波共振のピーク周波数を把



a) 空隙深さ 60mm

b) 空隙深さ 140mm

図-6 空隙モデルでの周波数スペクトル



a) 空隙深さ 60mm

b) 空隙深さ 140mm

図-7 計測された周波数スペクトル

表-3 計測結果のパターン認識結果

a) 空隙深さ 60mm

鋼球直径	上限周波数	最小深さ	解析結果*	
(mm)	(kHz)	(mm)	健全	空隙
3.2	90.8	21.5	2.037	1.867
4.0	72.7	26.8	2.543	2.032
6.4	45.4	42.9	2.045	2.024
9.6	30.3	64.4	1.577	1.548
11.0	26.4	73.8	1.495	1.499
12.8	22.7	85.9	1.384	1.447
15.7	18.5	105.3	1.490	1.538
19.1	15.2	128.0	1.307	1.437

*単位:無次元

握するためには、このピーク周波数が入力され た弾性波の上限周波数の範囲内に最低限属して いる必要があることを、計測結果からも確認で きる。さらに、入力する弾性波の上限周波数が 大きくなることにより、空隙に起因するピーク 周波数を判別しにくくなる傾向についても解析 結果と同様であった。

6.4 解析と実験とのパターン認識

コンクリート内部空隙の評価における入力す る弾性波の周波数の影響について, より定量的 に把握するため、パターン認識を行った。ここ では、供試体での周波数スペクトルが、空隙モ デルと健全モデルのどちらの周波数スペクトル に類似しているかを比較した。表-3にパターン 認識結果を示す。この表における数値は、計測 結果と空隙モデル, あるいは計測結果と健全モ デルとのユークリッド距離をそれぞれ示してい る。空隙深さ 60mm における計測結果は、弾性 波の入力周波数の上限が 30.3~90.8kHz までは, 空隙モデルに類似しており, 上限周波数がこれ よりも小さくなると健全モデルとして認識する ことがわかる。しかも、空隙モデルと認識した 上限周波数の最小値(30.3kHz)と,空隙深さ 60mm における縦波共振周波数 (32.5kHz) とは, かなり近い周波数の値を示している。一方、内 部空隙深さが 140mm の場合は、いずれの上限周 波数においても、計測された周波数スペクトル は、いずれの上限周波数に対しても、未充填モ デルでの周波数スペクトルに類似する結果を示 した。これは、各鋼球直径から算出されるおの おのの上限周波数に、140mm から算出される縦

b) 空隙深さ 140mm

鋼球直径	上限周波	最小深さ	解析結果*	
(mm)	数(kHz)	(mm)	健全	空隙
3.2	90.8	21.5	1.833	1.754
4.0	72.7	26.8	1.835	1.760
6.4	45.4	42.9	1.367	1.249
9.6	30.3	64.4	1.240	1.064
11.0	26.4	73.8	1.338	1.179
12.8	22.7	85.9	1.480	1.324
15.7	18.5	105.3	1.185	1.039
19.1	15.2	128.0	1.014	0.857

*単位:無次元

波共振によるピーク周波数 (13.9kHz) が属した ためと考察できる。

以上のことから,入力する弾性波の周波数によっては,コンクリート内部空隙の評価結果が 異なる傾向となることを,パターン認識により 把握した。

7. まとめ

本研究で得られた結論を以下に示す。

- 1) 本研究では、解析で得られた結果に基づいて、 上限周波数の違いが空隙判定に及ぼす影響 の程度を、ユークリッド距離を用いて定量的 に示す方法を提案した。
- 2) 提案する方法を用いて,空隙深さの異なるケースについて,入力周波数が空隙評価に与える影響を把握することができた。

参考文献

- Sansalone, M. and Streett, W. B.: Impact Echo, Bullbrier Press, Ithaca, N.Y., pp.29-254, 1997
- 2) 渡辺健,渡海雅信,小阪浩二,大津政康:インパクトエコー法の画像処理に関する研究,コンクリート工学年次論文報告集,Vol.22,No.1,pp.391-396,2000
- 3) 川嶋雅道,鎌田敏郎,古本吉倫,六郷恵哲: FEM 解析を援用したインパクトエコー法による PC グラウト充填状況の評価,コンクリート 工学 年次 論 文集, Vol.28, No.1, pp.1829-1834, 2006
- 4) たとえば,安居院猛,長尾智晴:画像の処理 と認識,昭晃堂,pp.99-114,2000